

Modélisation des Robots Manipulateurs

Viviane PASQUI

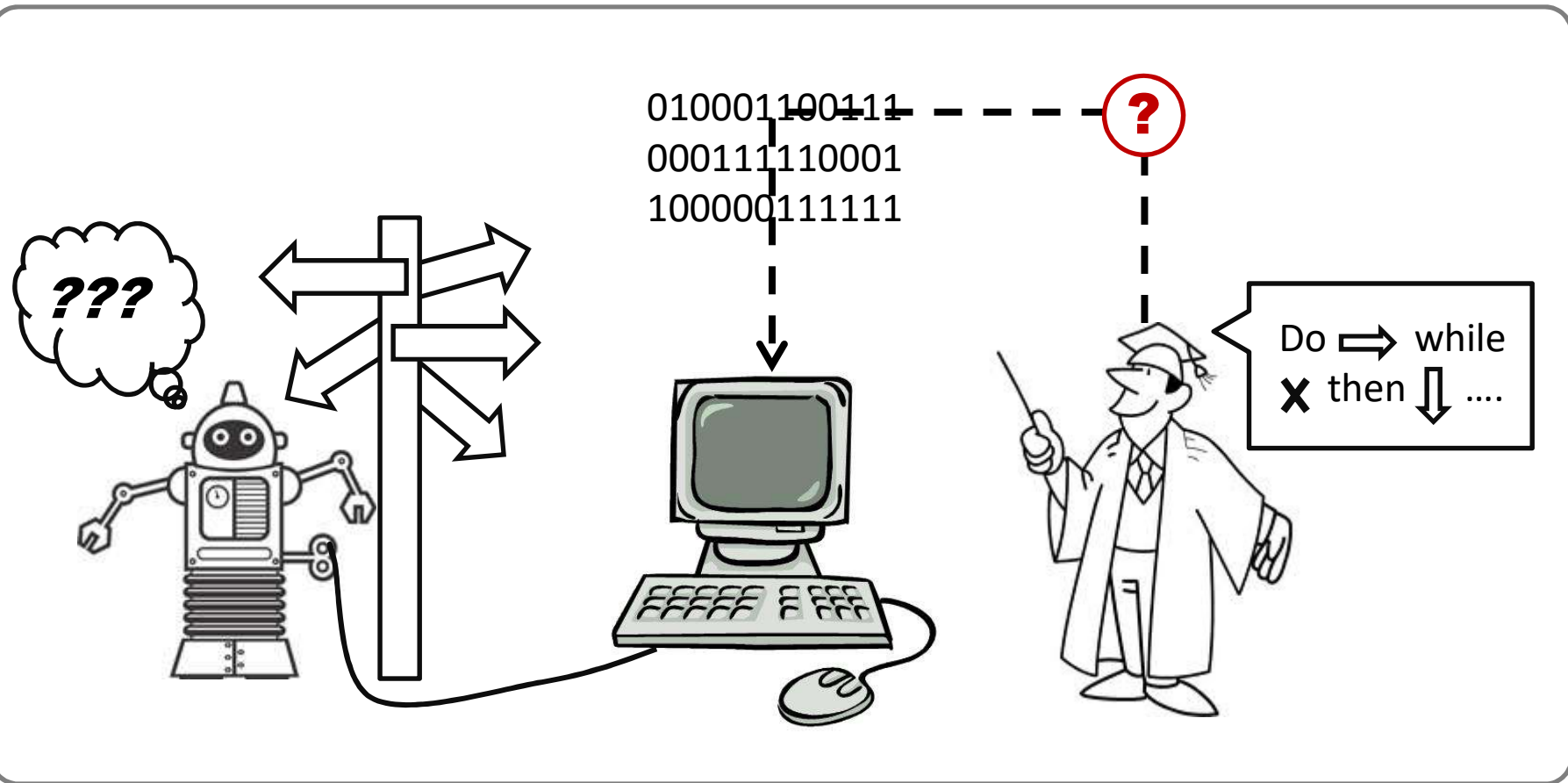
Institut des Systèmes Intelligents et de Robotique

ISIR UPMC – CNRS / UMR 7222

Equipe AGATHE – INSERM U1150

pasqui@isir.upmc.fr

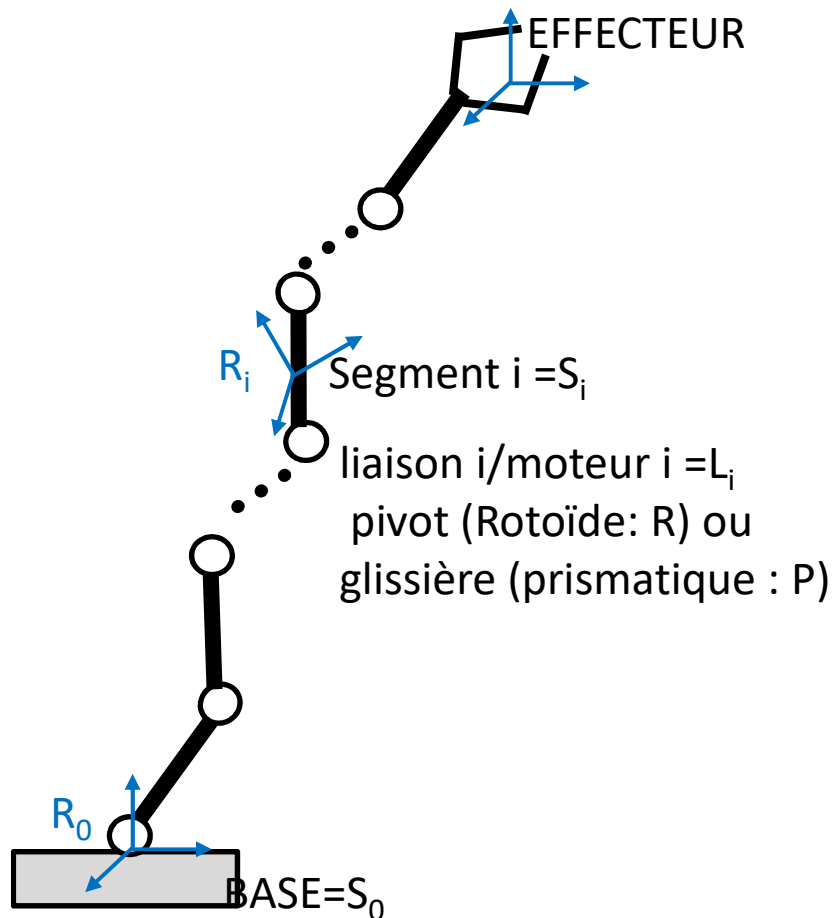
Objectif du Cours



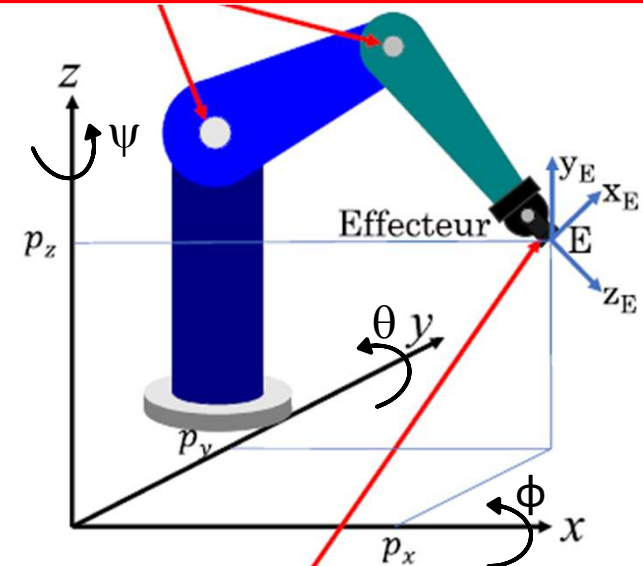
Plan du Cours

- ❑ Modèle Cinématique direct des robots série
- ❑ Modèle statique direct des robots série
- ❑ Configurations singulières des robots série
- ❑ Manipulabilité
- ❑ Cinématique des robots série redondant
- ❑ Paramétrage des robots parallèles
- ❑ Mobilité des mécanismes
- ❑ Modèle géométrique inverse des robots parallèles
- ❑ Modèle cinématique inverse des robots parallèles
- ❑ Configurations singulières des robots parallèles

Paramétrage d'un robot série



Paramètres articulaires généralisés:
 $\mathbf{q} = [q_1(t), q_2(t), \dots, q_n(t)]^T$



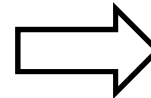
Paramètres opérationnels:
 $\mathbf{x} = [p_x, p_y, p_z, \phi, \theta, \psi]^T$

Notion de tâche en robotique

- **Tâche de position :**

- commande point-à-point**

- séquence de points de passage, pick and place, chargement-déchargement, soudage par points ...



- Modèles Géométriques:**

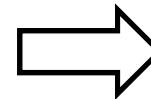
- Direct $\Rightarrow \mathbf{x} = \mathbf{f}(\mathbf{q})$

- Inverse $\Rightarrow \mathbf{q} = \mathbf{f}^{-1}(\mathbf{x})$

- **Tâche de trajectoire :**

- commande de suivi de trajectoire**

- contrôle de la vitesse sur la trajectoire, suivi du chemin de référence, peinture par pulvérisation, soudage à l'arc, collage ...



- Modèles Cinématiques:**

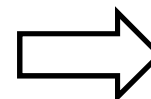
- Direct $\Rightarrow \dot{\mathbf{x}} = \mathbf{J}(\mathbf{q})\dot{\mathbf{q}}$

- Inverse $\Rightarrow \dot{\mathbf{q}} = \mathbf{J}^{-1}(\mathbf{q})\dot{\mathbf{x}}$

- **Tâche d'effort :**

- commande de l'effort appliqué**

- assemblage de précision, ponçage, ébavurage, ...

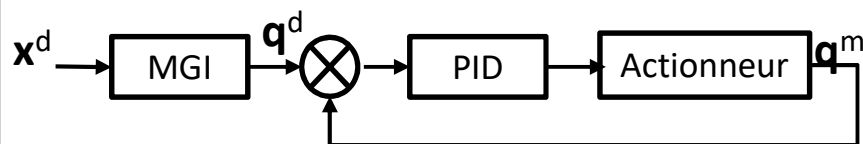
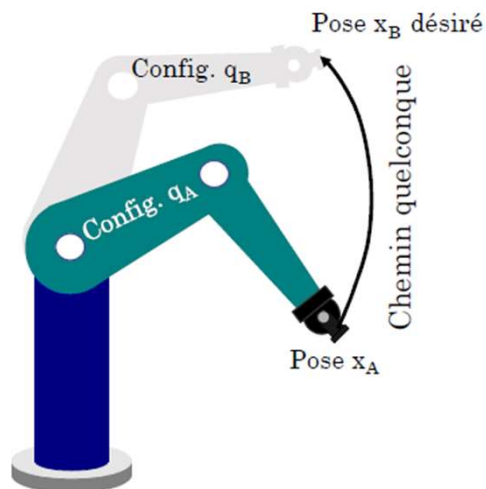


- Modèles Dynamique:**

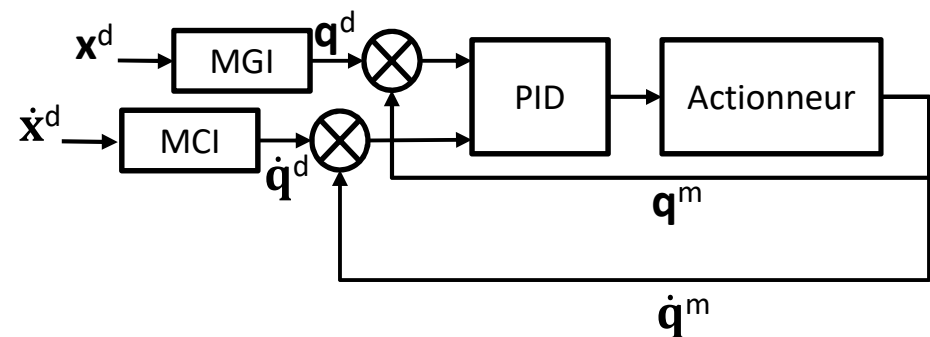
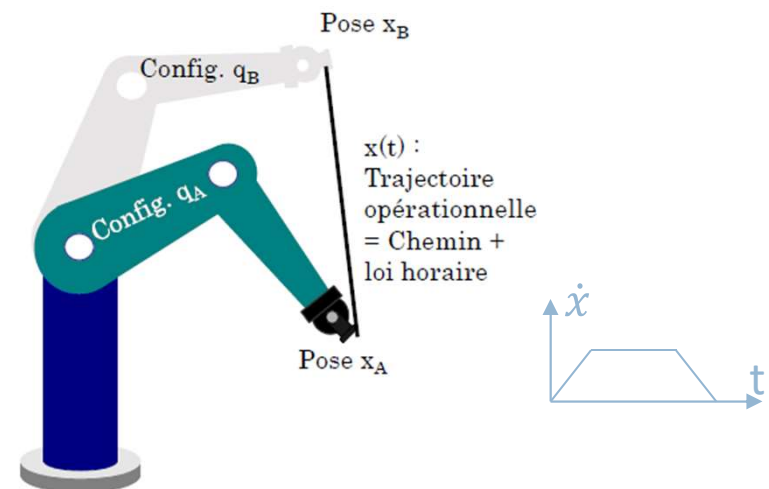
- $\tau = \mathbf{M}(\mathbf{q})\ddot{\mathbf{q}} + \mathbf{C}(\mathbf{q}, \dot{\mathbf{q}})\dot{\mathbf{q}} + \dot{\mathbf{g}}(\mathbf{q})$

Modèle Géométrique et Modèle Cinématique

Commande Point à point



Commande en Suivi de trajectoire

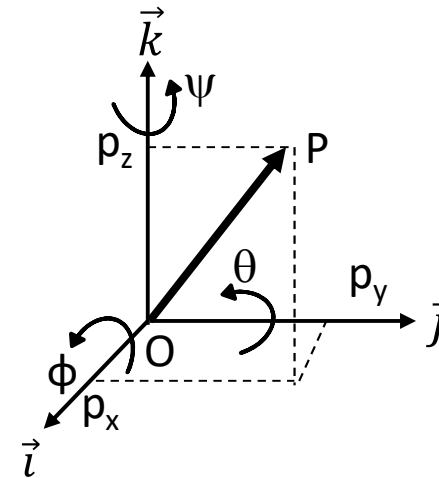


Champ de vitesse d'un solide rigide

$$\vec{\Omega}(S/R_0) = \dot{\phi}\vec{i} + \dot{\theta}\vec{j} + \dot{\psi}\vec{k}$$

$$\vec{V}(P \in S/R_0) = \frac{d}{dt}(\vec{OP})\Big|_0 = \dot{p}_x\vec{i} + \dot{p}_y\vec{j} + \dot{p}_z\vec{k}$$

$$\vec{V}(Q \in S/R_0) = \vec{V}(P \in S/R_0) + \vec{QP} \wedge \vec{\Omega}(S/R_0)$$



Torseur cinématique

Un mouvement instantané est défini par une rotation et une translation

$$\Rightarrow \mathcal{V}_{S/R_0}(P) = \left\{ \begin{array}{c} \vec{\Omega}(S/R_0) \\ \vec{V}(P \in S/R_0) \end{array} \right\}_P$$

$\mathcal{V}_{S/R_0}(P)$ est le Torseur cinématique de S dans son mouvement par rapport à S_0 en P

$$\mathcal{V}_{S/R_0}(Q) = \left\{ \begin{array}{c} \vec{\Omega}(S/R_0) \\ \vec{V}(P \in S/R_0) + \overrightarrow{QP} \wedge \vec{\Omega}(S/R_0) \end{array} \right\}_P$$

Pour un mouvement composé:

$$\mathcal{V}_{S_2/S_0}(P) = \mathcal{V}_{S_2/S_1}(P) + \mathcal{V}_{S_1/S_0}(P)$$

Torseur cinématique

Pour chacune des liaisons L_i reliant S_{i-1} à S_i :

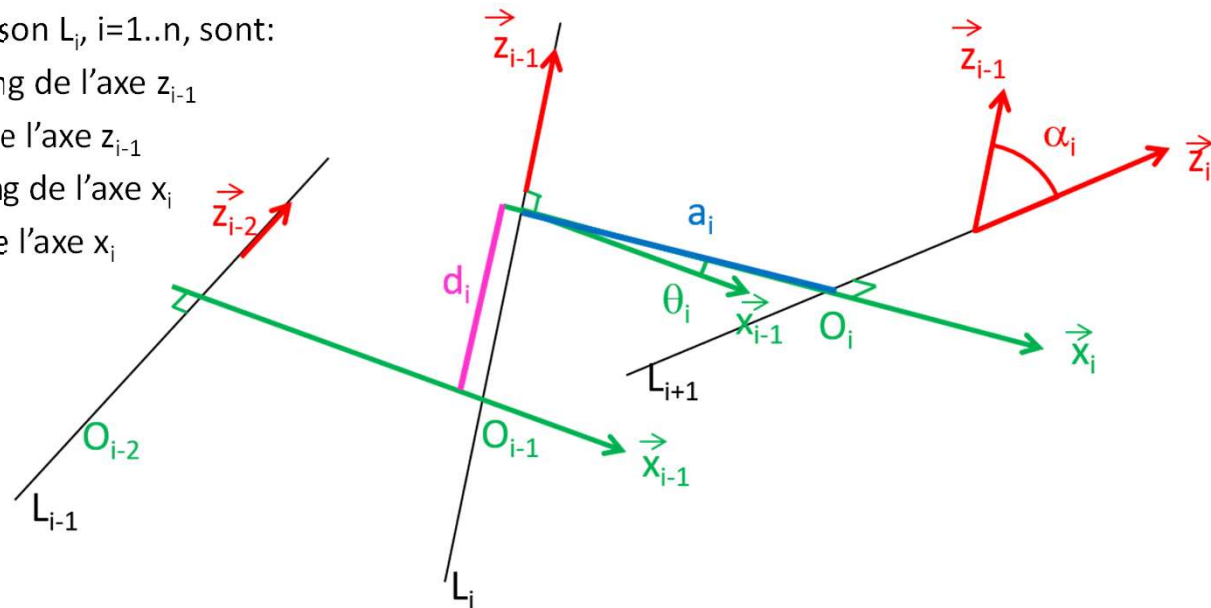
\vec{z}_{i-1} est la direction de l'axe de la liaison entre les segments S_{i-1} et S_i

\vec{x}_i est la perpendiculaire commune à \vec{z}_{i-1} et à \vec{z}_i tel que: $\vec{x}_i = \vec{z}_{i-1} \wedge \vec{z}_i$

$(\vec{x}_i, \vec{y}_i, \vec{z}_i)$ est une Base Orthonormée Directe

Les paramètres de DH, pour chaque liaison L_i , $i=1..n$, sont:

- d_i est la distance entre x_{i-1} et x_i le long de l'axe z_{i-1}
- θ_i est l'angle entre x_{i-1} et x_i autour de l'axe z_{i-1}
- a_i est la distance entre z_{i-1} et z_i le long de l'axe x_i
- α_i est l'angle entre z_{i-1} et z_i autour de l'axe x_i



$${}^{i-1}T_i = \begin{bmatrix} \cos(\theta_i) & -\sin(\theta_i)\cos(\alpha_i) & \sin(\theta_i)\sin(\alpha_i) & a_i\cos(\theta_i) \\ \sin(\theta_i) & \cos(\theta_i)\cos(\alpha_i) & -\cos(\theta_i)\sin(\alpha_i) & a_i\sin(\theta_i) \\ 0 & \sin(\alpha_i) & \cos(\alpha_i) & d_i \\ 0 & 0 & 0 & 1 \end{bmatrix}$$

\vec{z}_{i-1} (red arrow pointing to the top-right element)
 $\overrightarrow{O_{i-1}O_i}$ (green arrow pointing to the bottom-right element)

Torseur cinématique

$$\mathcal{V}_{S_i/S_{i-1}}(P) = \left\{ \begin{array}{c} \vec{\Omega}(S_i/S_{i-1}) \\ \vec{V}(P \in S_i/S_{i-1}) \end{array} \right\}_P$$

Si L_i est une liaison glissière : $q_i(t) = d_i(t)$

$$\vec{\Omega}(S_i/S_{i-1}) = \vec{0} \quad \text{et} \quad \vec{V}(P \in S_i/S_{i-1}) = \vec{V}(O_{i-1} \in S_i/S_{i-1}) = \dot{d}_i \vec{z}_{i-1} = \dot{q}_i \vec{z}_{i-1}$$

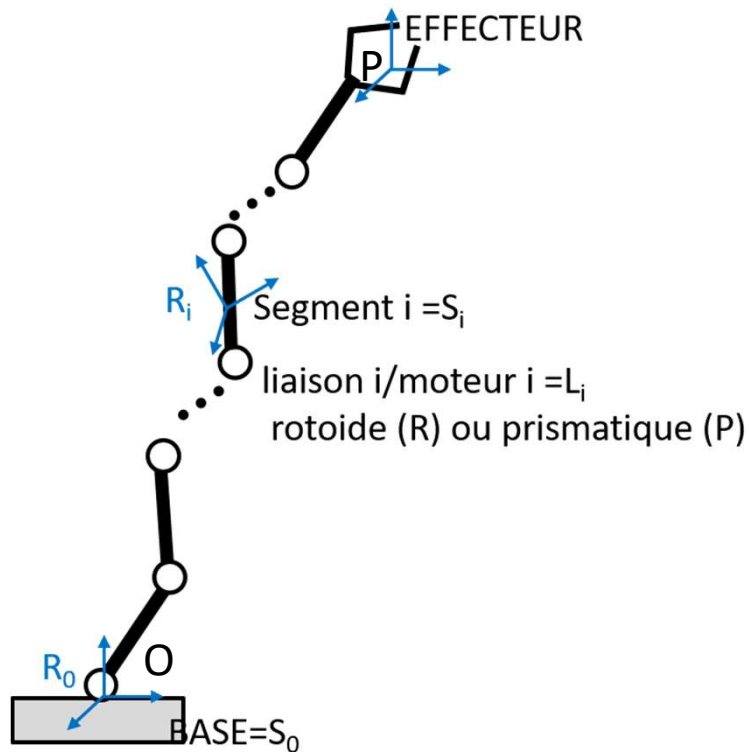
$$\mathcal{V}_{S_i/S_{i-1}}(P) = \left\{ \begin{array}{c} \vec{0} \\ \dot{q}_i \vec{z}_{i-1} \end{array} \right\}_P = \dot{q}_i \left\{ \begin{array}{c} \vec{0} \\ \vec{z}_{i-1} \end{array} \right\}_P = \dot{q}_i \$_{S_i/S_{i-1}}(P)$$

Si L_i est une liaison pivot : $q_i(t) = \theta_i(t)$

$$\vec{\Omega}(S_i/S_{i-1}) = \dot{\theta}_i \vec{z}_{i-1} \quad \text{et} \quad \vec{V}(P \in S_i/S_{i-1}) = \vec{V}(O_{i-1} \in S_i/S_{i-1}) + (\dot{\theta}_i \vec{z}_{i-1} \wedge \overrightarrow{PO_{i-1}})$$

$$\mathcal{V}_{S_i/S_{i-1}}(P) = \left\{ \begin{array}{c} \dot{q}_i \vec{z}_{i-1} \\ \dot{q}_i \vec{z}_{i-1} \wedge \overrightarrow{O_{i-1}P} \end{array} \right\}_P = \dot{q}_i \left\{ \begin{array}{c} \vec{z}_{i-1} \\ \vec{z}_{i-1} \wedge \overrightarrow{O_{i-1}P} \end{array} \right\}_P = \dot{q}_i \$_{S_i/S_{i-1}}(P)$$

Modèle cinématique



$$\begin{aligned}
 \vec{\Omega}_{n/0} &= \sum \vec{\Omega}_{i/i-1} \\
 \vec{V}(P \in \text{Effecteur}/\text{Base}) &= \sum \vec{V}(P \in S_i/S_{i-1}) \\
 &\Downarrow \\
 \mathcal{V}_{\text{Effecteur}/\text{Base}}(P) &= \sum \mathcal{V}_{S_i/S_{i-1}}(P) \\
 &\Downarrow \\
 \mathcal{V}_{\text{Effecteur}/\text{Base}}(P) &= \sum \dot{q}_i \$_{S_i/S_{i-1}}(P) \\
 &\Downarrow \\
 \begin{bmatrix} \omega_x \\ \omega_y \\ \omega_z \\ \dot{p}_x \\ \dot{p}_y \\ \dot{p}_z \end{bmatrix} &= \underbrace{[\$_{1/0} \quad \dots \quad \$_{n/n-1}]}_{J_c} \begin{bmatrix} \dot{q}_1 \\ \vdots \\ \dot{q}_n \end{bmatrix}
 \end{aligned}$$

J_c est la matrice Jacobienne cinématique

si $J_c(q)$ est Carrée et Inversible alors $\dot{q} = J_c^{-1}(q)\dot{x}$

Modèle cinématique

$$\vec{\Omega}(S/R_0) = \dot{\phi} \vec{i}_0 + \dot{\theta} \vec{j}_1 + \dot{\psi} \vec{k}_2 = \omega_x \vec{i}_0 + \omega_y \vec{j}_0 + \omega_z \vec{k}_0$$

$${}^1R_0 = \begin{bmatrix} 1 & 0 & 0 \\ 0 & \cos(\phi) & -\sin(\phi) \\ 0 & \sin(\phi) & \cos(\phi) \end{bmatrix}; {}^2R_1 = \begin{bmatrix} \cos(\theta) & 0 & \sin(\theta) \\ 0 & 1 & 0 \\ -\sin(\theta) & 0 & \cos(\theta) \end{bmatrix}; {}^3R_2 = \begin{bmatrix} \cos(\psi) & -\sin(\psi) & 0 \\ \sin(\psi) & \cos(\psi) & 0 \\ 0 & 0 & 1 \end{bmatrix}$$

$$\vec{j}_1 = \cos(\phi) \vec{j}_0 + \sin(\phi) \vec{k}_0 \quad \text{et} \quad \vec{k}_2 = \sin(\theta) \vec{i}_0 - \cos(\theta) \sin(\phi) \vec{j}_0 + \cos(\theta) \cos(\phi) \vec{k}_0$$

$$\omega_x \vec{i}_0 + \omega_y \vec{j}_0 + \omega_z \vec{k}_0 = (\dot{\phi} + \sin(\theta) \dot{\theta}) \vec{i}_0 + (\dot{\theta} \cos(\phi) - \dot{\psi} \cos(\theta) \sin(\phi)) \vec{j}_0 + (\dot{\theta} \sin(\phi) + \dot{\psi} \cos(\theta) \cos(\phi)) \vec{k}_0$$

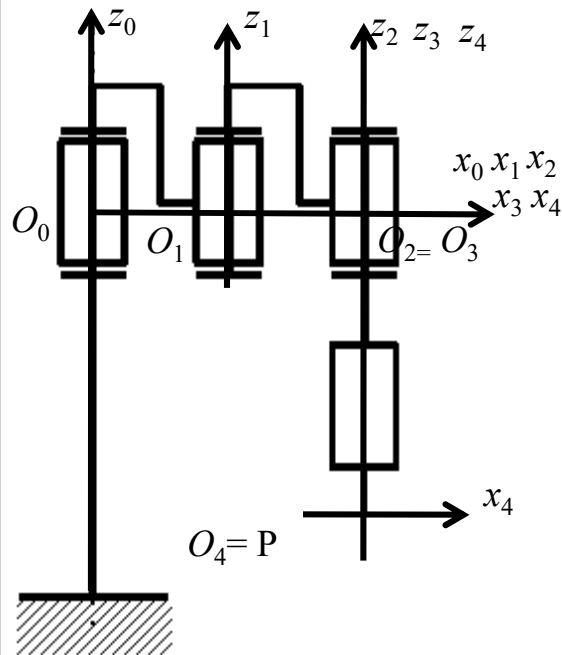
$$\begin{bmatrix} \omega_x \\ \omega_y \\ \omega_z \end{bmatrix} = \underbrace{\begin{bmatrix} 1 & \sin(\theta) & 0 \\ 0 & \cos(\phi) & -\cos(\theta) \sin(\phi) \\ 0 & \sin(\phi) & \cos(\theta) \cos(\phi) \end{bmatrix}}_{B(x)} \begin{bmatrix} \dot{\phi} \\ \dot{\theta} \\ \dot{\psi} \end{bmatrix}$$

$$\text{si } \det(\mathbf{B}) \neq 0 \text{ alors } \mathbf{J} = \begin{bmatrix} \mathbf{B}(x)^{-1} & \mathbf{0} \\ \mathbf{0} & \mathbf{I}_3 \end{bmatrix} \mathbf{J}_c$$

$$\text{si } \mathbf{J}(q) \text{ est Carrée et Inversible alors } \dot{\mathbf{q}} = \mathbf{J}^{-1}(q) \begin{bmatrix} \dot{\phi} \\ \dot{\theta} \\ \dot{\psi} \\ \dot{p}_x \\ \dot{p}_y \\ \dot{p}_z \end{bmatrix}$$

Modèle cinématique du SCARA

joint	θ_i	d_i	a_i	α_i
1	θ_1	0	l_1	0
2	θ_2	0	l_2	0
3	θ_3	0	0	0
4	0	-d4	0	0



$${}^0T_1 = \begin{bmatrix} \cos(\theta_1) & -\sin(\theta_1) & 0 & l_1 \cos(\theta_1) \\ \sin(\theta_1) & \cos(\theta_1) & 0 & l_1 \sin(\theta_1) \\ 0 & 0 & 1 & 0 \\ 0 & 0 & 0 & 1 \end{bmatrix} \Rightarrow$$

$$\vec{z}_0 = \begin{bmatrix} 0 \\ 0 \\ 1 \end{bmatrix}$$

$$\overrightarrow{O_0O_1} = \begin{bmatrix} l_1 \cos(\theta_1) \\ l_1 \sin(\theta_1) \\ 0 \end{bmatrix}$$

$${}^1T_2 = \begin{bmatrix} \cos(\theta_2) & -\sin(\theta_2) & 0 & l_2 \cos(\theta_2) \\ \sin(\theta_2) & \cos(\theta_2) & 0 & l_2 \sin(\theta_2) \\ 0 & 0 & 1 & 0 \\ 0 & 0 & 0 & 1 \end{bmatrix} \Rightarrow$$

$$\vec{z}_1 = \begin{bmatrix} 0 \\ 0 \\ 1 \end{bmatrix}$$

$$\overrightarrow{O_1O_2} = \begin{bmatrix} l_2 \cos(\theta_2) \\ l_2 \sin(\theta_2) \\ 0 \end{bmatrix}$$

$${}^2T_3 = \begin{bmatrix} \cos(\theta_3) & -\sin(\theta_3) & 0 & 0 \\ \sin(\theta_3) & \cos(\theta_3) & 0 & 0 \\ 0 & 0 & 1 & 0 \\ 0 & 0 & 0 & 1 \end{bmatrix} \Rightarrow$$

$$\vec{z}_2 = \begin{bmatrix} 0 \\ 0 \\ 1 \end{bmatrix}$$

$$\overrightarrow{O_2O_3} = \begin{bmatrix} 0 \\ 0 \\ 0 \end{bmatrix}$$

$${}^3T_4 = \begin{bmatrix} 1 & 0 & 0 & 0 \\ 0 & 1 & 0 & 0 \\ 0 & 0 & 1 & -d_4 \\ 0 & 0 & 0 & 1 \end{bmatrix} \Rightarrow$$

$$\vec{z}_3 = \begin{bmatrix} 0 \\ 0 \\ 1 \end{bmatrix}$$

$$\overrightarrow{O_3O_4} = \begin{bmatrix} 0 \\ 0 \\ -d_4 \end{bmatrix}$$

Modèle cinématique du SCARA

$${}_{1/0}(P) = \begin{Bmatrix} \vec{z}_0 \\ \vec{z}_0 \wedge \overrightarrow{O_0P} \end{Bmatrix} \quad {}_{2/1}(P) = \begin{Bmatrix} \vec{z}_1 \\ \vec{z}_1 \wedge \overrightarrow{O_1P} \end{Bmatrix} \quad {}_{3/2}(P) = \begin{Bmatrix} \vec{z}_2 \\ \vec{z}_2 \wedge \overrightarrow{O_2P} \end{Bmatrix} \quad {}_{4/3}(P) = \begin{Bmatrix} \vec{0} \\ -\vec{z}_3 \end{Bmatrix}$$

$${}_{1/0}(P) = \begin{Bmatrix} 0 \\ 0 \\ 1 \\ -l_2 \sin(\theta_1 + \theta_2) - l_1 \sin(\theta_1) \\ l_2 \cos(\theta_1 + \theta_2) + l_1 \cos(\theta_1) \\ 0 \end{Bmatrix} \quad {}_{2/1}(P) = \begin{Bmatrix} 0 \\ 0 \\ 1 \\ -l_2 \sin(\theta_1 + \theta_2) \\ l_2 \cos(\theta_1 + \theta_2) \\ 0 \end{Bmatrix} \quad {}_{3/2}(P) = \begin{Bmatrix} 0 \\ 0 \\ 1 \\ 0 \\ 0 \\ 0 \end{Bmatrix} \quad {}_{4/3}(P) = \begin{Bmatrix} 0 \\ 0 \\ 0 \\ 0 \\ 0 \\ -1 \end{Bmatrix}$$

⇓

$$J_c = \begin{bmatrix} 0 & 0 & 0 & 0 \\ 0 & 0 & 0 & 0 \\ 1 & 1 & 1 & 0 \\ -l_2 \sin(\theta_1 + \theta_2) - l_1 \sin(\theta_1) & -l_2 \sin(\theta_1 + \theta_2) & 0 & 0 \\ l_2 \cos(\theta_1 + \theta_2) + l_1 \cos(\theta_1) & l_2 \cos(\theta_1 + \theta_2) & 0 & 0 \\ 0 & 0 & 0 & -1 \end{bmatrix}$$

⇓

$$\begin{bmatrix} \dot{\varphi} \\ \dot{P}_x \\ \dot{P}_y \\ \dot{P}_z \end{bmatrix} = \begin{bmatrix} 1 & 1 & 0 \\ -l_2 \sin(\theta_1 + \theta_2) - l_1 \sin(\theta_1) & -l_2 \sin(\theta_1 + \theta_2) & 0 \\ l_2 \cos(\theta_1 + \theta_2) + l_1 \cos(\theta_1) & l_2 \cos(\theta_1 + \theta_2) & 0 \\ 0 & 0 & -1 \end{bmatrix} \begin{bmatrix} \dot{\theta}_1 \\ \dot{\theta}_2 \\ \dot{\theta}_3 \\ \dot{d}_4 \end{bmatrix}$$

Dualité cinémato-statique

Le bilan des efforts appliqués sur le robot, en équilibre statique:

- Les actions mécaniques appliquées à l'effecteur: $\mathcal{F}_{ext \rightarrow effecteur}$ (P)
- La gravité appliquée sur chaque segment : $\mathcal{F}_{g \rightarrow S_i}$ (G_i)
- Les efforts exercés par les moteurs : $\mathcal{F}_{S_{i-1} \rightarrow S_i}$ (O_{i-1})
- Les efforts transmis par les liaisons : \mathcal{F}_{L_i} (O_{i-1}) :

Si la liaison est une pivot d'axe ($O_{j-1}^i, \vec{z}_{j-1}^i$) :

$$\mathcal{F}_{S_{j-1} \rightarrow S_j}^i(O_{j-1}^i) = \left\{ \begin{array}{c} \vec{F}_{S_{j-1} \rightarrow S_j}^i \\ \vec{M}_{S_{j-1} \rightarrow S_j}^i \end{array} \right\}_{O_{j-1}^i} \quad \text{avec} \quad \vec{M}_{S_{j-1} \rightarrow S_j}^i(O_{j-1}^i) \cdot \vec{z}_{j-1}^i = 0$$

Si la liaison est une glissière d'axe ($O_{j-1}^i, \vec{z}_{j-1}^i$) :

$$\mathcal{F}_{S_{j-1} \rightarrow S_j}^i(O_{j-1}^i) = \left\{ \begin{array}{c} \vec{F}_{S_{j-1} \rightarrow S_j}^i \\ \vec{M}_{S_{j-1} \rightarrow S_j}^i \end{array} \right\}_{O_{j-1}^i} \quad \text{avec} \quad \vec{F}_{S_{j-1} \rightarrow S_j}^i \cdot \vec{z}_{j-1}^i = 0$$

Dualité Cinémato-statique

Le travail virtuel des actions mécaniques appliquées au robot:

$$\delta W = \mathcal{F}_{ext \rightarrow effecteur}(P) \circ \delta \mathcal{V}_{S_n/S_0}(P) + \cancel{\mathcal{F}_{g \rightarrow S_i}(G_i)} \circ \delta \mathcal{V}_{S_i/S_0}(G_i) +$$

$$\underbrace{\mathcal{F}_{L_i}(O_{i-1})}_{=0} \circ \delta \mathcal{V}_{S_i/S_{i-1}}(O_{i-1}) + \mathcal{F}_{S_{i-1} \rightarrow S_i}(O_{i-1}) \circ \delta \mathcal{V}_{S_i/S_{i-1}}(O_{i-1})$$

négligée

$\mathcal{F} \circ \delta \mathcal{V} = \begin{Bmatrix} \vec{F} \\ \vec{M} \end{Bmatrix} \circ \begin{Bmatrix} \vec{\Omega} \\ \vec{V} \end{Bmatrix} = \vec{F} \cdot \vec{V} + \vec{M} \cdot \vec{\Omega}$

Le Principe des travaux virtuels $\Rightarrow \delta W = 0$

$$\mathbf{f}_{effecteur \rightarrow ext}^T \delta \mathbf{v}_{S_n/S_0} = \boldsymbol{\tau}^T \mathbf{M}^T \mathbf{J} \dot{\mathbf{q}} \Rightarrow \begin{cases} \mathbf{f}_{ext \rightarrow effecteur}^T = \mathbf{M} \boldsymbol{\tau} \\ \mathbf{M} = \mathbf{J}^{-T} \end{cases}$$

Modèle statique

Le modèle statique direct:

$$\mathbf{f}_{\text{effecteur} \rightarrow \text{ext}} = \mathbf{J}^{-T} \boldsymbol{\tau}$$

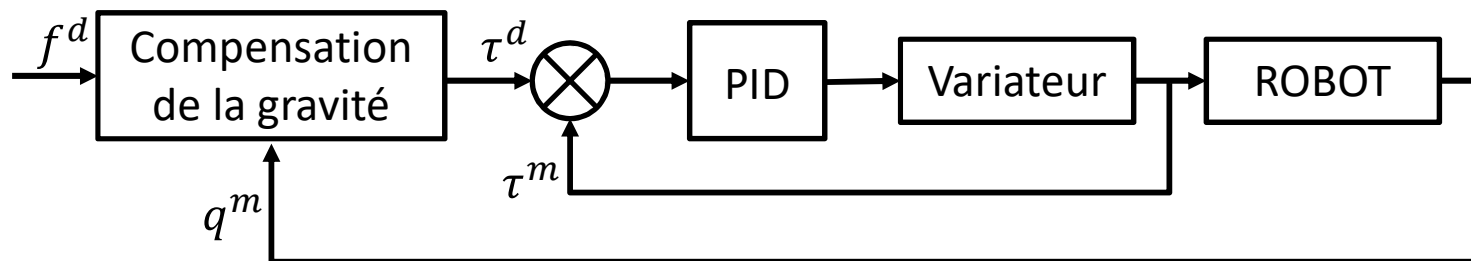
Le modèle statique inverse:

$$\boldsymbol{\tau} = \mathbf{J}^T \mathbf{f}_{\text{effecteur} \rightarrow \text{ext}}$$

Si on considère le poids des segments :

$$\boldsymbol{\tau} = \mathbf{J}^T \mathbf{f}_{\text{effecteur} \rightarrow \text{ext}} + \left(\frac{\partial E_p}{\partial \mathbf{q}} \right)^T$$

$$E_p = \sum m_i g z_{G_i}$$



Singularités des robots séries

Un robot série est dans une configuration singulière lorsque $\det(\mathbf{J})=0$



Les torseurs cinématiques des liaisons sont dépendants



- Perte d'au moins 1DDL
- Il y a plusieurs solutions au problème inverse
- A proximité d'une singularité, de petites vitesses dans l'espace cartésien peuvent conduire à de très grandes vitesses dans les articulations.
- Peut définir une frontière du domaine accessible par l'effecteur

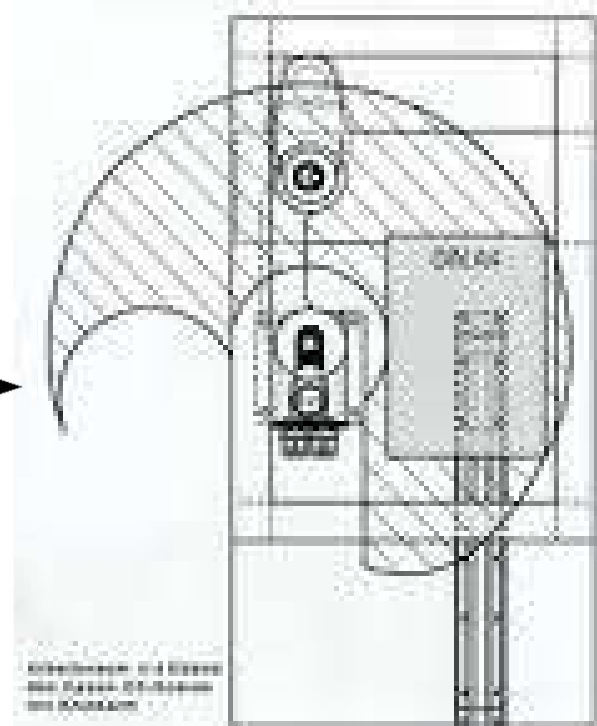
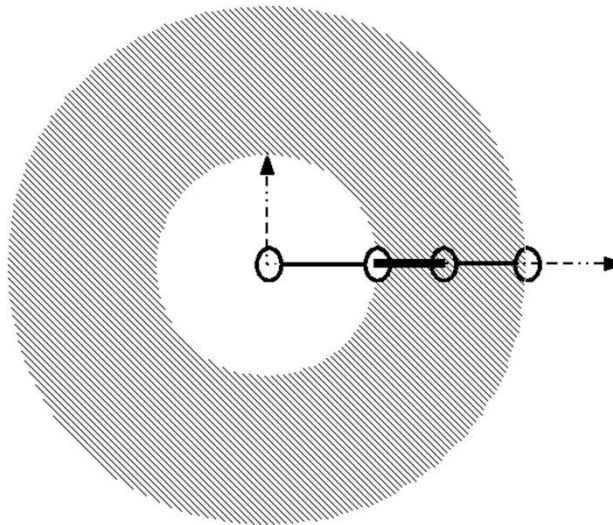
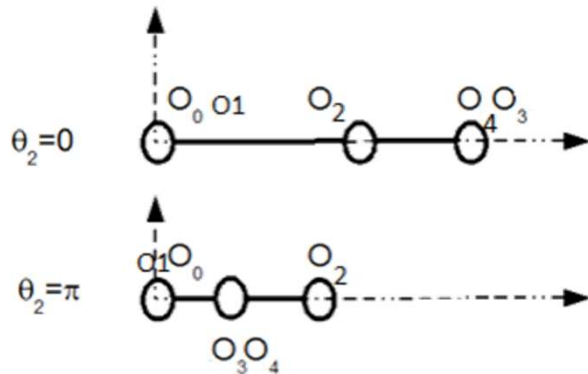
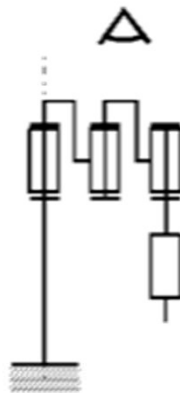
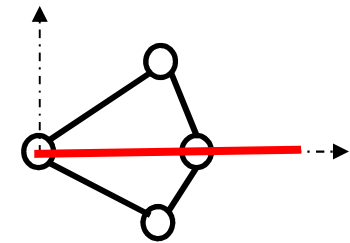
Les configurations singulières \Leftrightarrow $\left\{ \begin{array}{l} \text{➤ } \det(\mathbf{J})=0 \\ \text{➤ } \text{Géométrie des axes des liaisons} \end{array} \right.$

POUR PASSER UNE SINGULARITE ON COMMANDE DANS L'ESPACE ARTICULAIRE

Singularités du SCARA

$$\begin{bmatrix} \dot{\phi} \\ \dot{p}_x \\ \dot{p}_y \\ \dot{p}_z \end{bmatrix} = \begin{bmatrix} 1 & 1 & 0 & 0 \\ -l_2 \sin(\theta_1 + \theta_2) - l_1 \sin(\theta_1) & -l_2 \sin(\theta_1 + \theta_2) & 0 & 0 \\ l_2 \cos(\theta_1 + \theta_2) + l_1 \cos(\theta_1) & l_2 \cos(\theta_1 + \theta_2) & 0 & 0 \\ 0 & 0 & 0 & -1 \end{bmatrix} \begin{bmatrix} \dot{\theta}_1 \\ \dot{\theta}_2 \\ \dot{\theta}_3 \\ \dot{d}_4 \end{bmatrix}$$

$$\det(J) = l_1 l_2 \sin(\theta_2)$$



Singularités des robots manipulateurs série

- Dans une configuration singulière l'effecteur du robot ne peut plus se déplacer dans au moins une direction
- Le rang de \mathbf{J} diminue et $(\max(\text{rg}(\mathbf{J})) - \text{rg}(\mathbf{J}))$ est l'ordre de la singularité
- Le passage d'une configuration singulière correspond à deux solutions du MGI pour un ordre 1
- $\text{rg}(\mathbf{J}) = \text{rg}(\mathbf{J}_c)$
- $\text{rg}(\mathbf{J}_c) = \text{rg}(\$_1, \$_2, \dots, \$_n) \Rightarrow \text{les } \$_1, \$_2, \dots, \$_n \text{ sont dépendants}$

Singularités et géométrie projective

Soit un point de l'espace affine représenté par ses coordonnées cartésiennes (X, Y, Z) .

On définit ses **coordonnées homogènes** (x, y, z, w) par:

$$\begin{aligned} X &= \frac{x}{w} \\ Y &= \frac{y}{w} \\ Z &= \frac{z}{w} \end{aligned}$$

On suppose que $(x, y, z, w) \neq (0, 0, 0, 0)$

Un point est dit à l'infini quand $w=0$

Plan: $ax + by + cz + dw = 0$

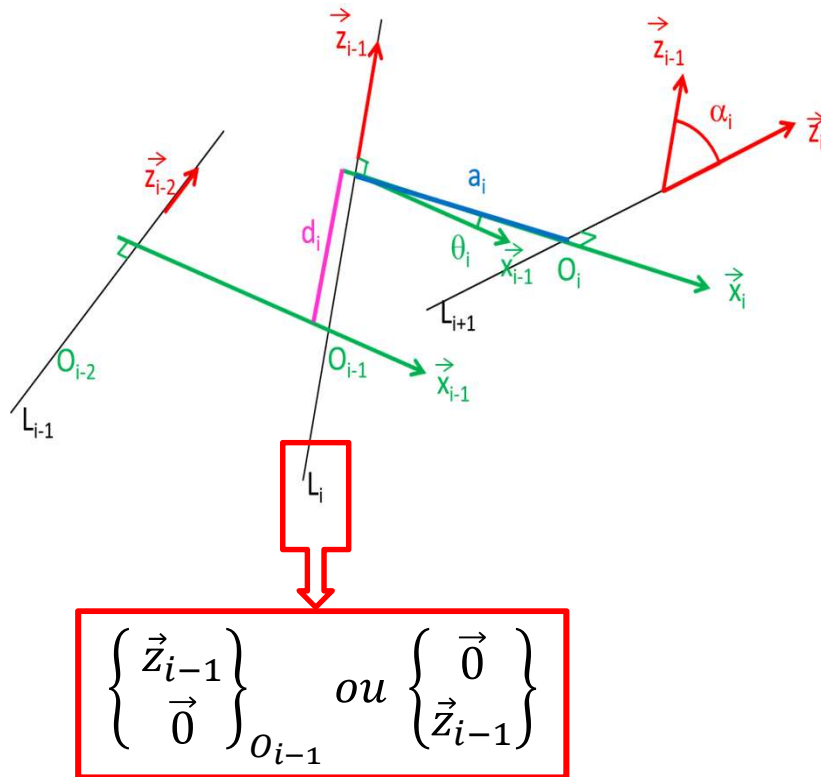
si $w=0$ le plan est dit à l'infini

droite: $\begin{cases} ax + by + cz + dw = 0 \\ a'x + b'y + c'z + d'w = 0 \end{cases}$ avec $(a, b, c, d) \neq (a', b', c', d')$

si $w=0$ la droite est dite à l'infini

Singularités et géométrie projective

Paramètre de DH d'une liaison



Soient (L, M, N, P, Q, R) les coordonnées d'un torseur, il est décrit par **une droite passant par les deux points** (x_1, y_1, z_1, w_1) et (x_2, y_2, z_2, w_2) telles que :

$$L = \begin{vmatrix} w_1 & x_1 \\ w_2 & x_2 \end{vmatrix} \quad M = \begin{vmatrix} w_1 & y_1 \\ w_2 & y_2 \end{vmatrix} \quad N = \begin{vmatrix} w_1 & z_1 \\ w_2 & z_2 \end{vmatrix}$$

$$P = \begin{vmatrix} y_1 & z_1 \\ y_2 & z_2 \end{vmatrix} \quad Q = \begin{vmatrix} z_1 & x_1 \\ z_2 & x_2 \end{vmatrix} \quad R = \begin{vmatrix} x_1 & y_1 \\ x_2 & y_2 \end{vmatrix}$$

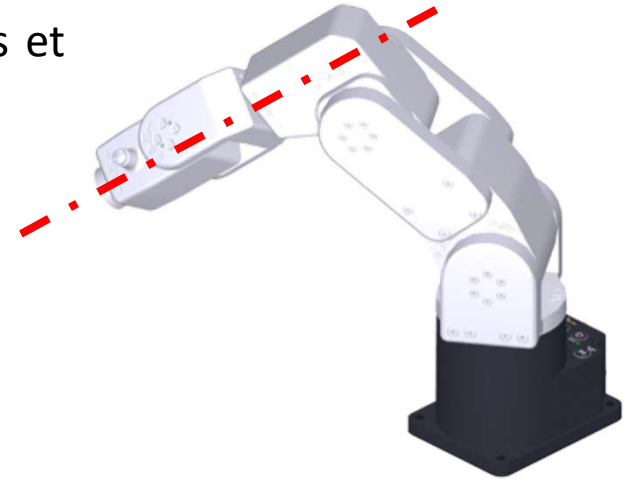
(L, M, N, P, Q, R) sont appelées coordonnées plückerienne du torseur :

\Rightarrow Droite de Plücker

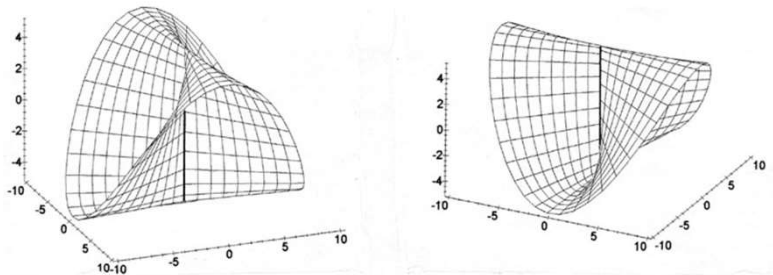
Singularités et géométrie projective

1 DDL = tous les torseurs ont des axes centraux colinéaires et de même pas \Rightarrow

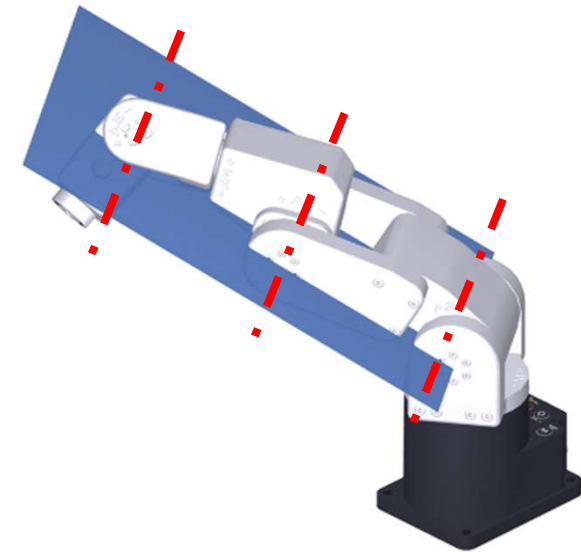
- Les liaisons pivots ont des axes alignés
- Les liaisons glissières ont des axes parallèles



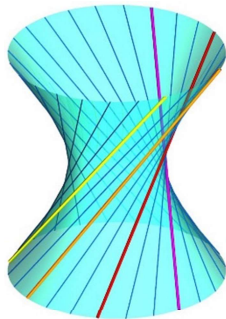
2 DDL = tous les torseurs ont des axes centraux dépendants de deux génératrices d'un conoïde de Plucker \Rightarrow



- Les liaisons pivots ont des axes appartenant à un faisceau de droites coplanaires. Quand le sommet du faisceau est à l'infini les axes sont coplanaires et parallèles.
- Liaisons glissières d'axes coplanaires non parallèles

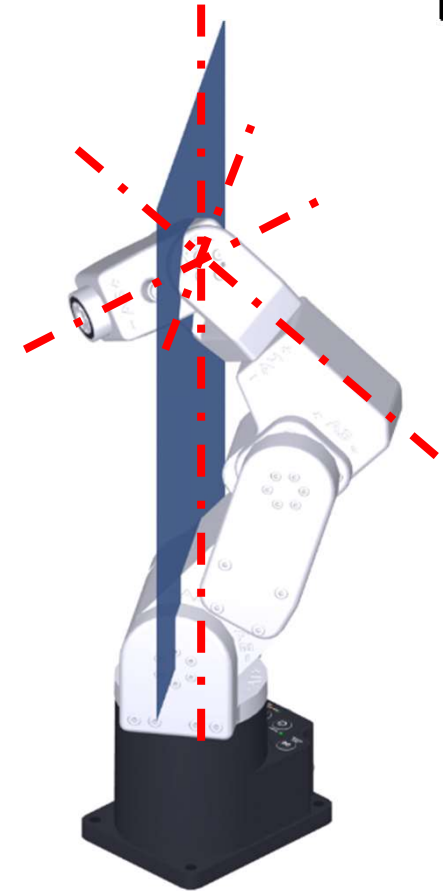


Singularités et géométrie projective



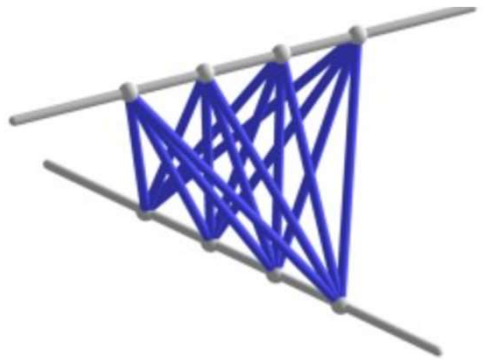
3 DDL = tous les torseurs ont des axes centraux dépendants des génératrices d'un Régulus:

- Les liaisons pivots ont des axes appartenant à un faisceau de droites de directions quelconques dans l'espace mais qui se coupent un point
- Les liaisons glissières ont des axes de directions quelconques (non tous coplanaires et non tous parallèles)

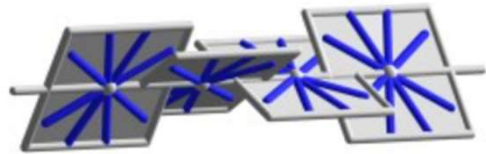


Singularités et géométrie projective

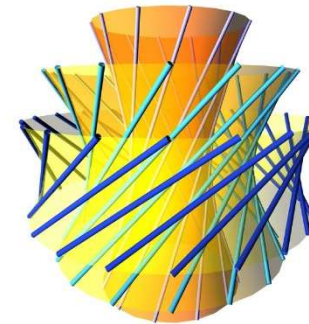
4 DDL = tous les torseurs ont des axes centraux appartenant à une congruence



Hyperbolic linear congruence

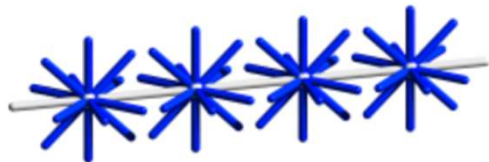


Parabolic linear congruence

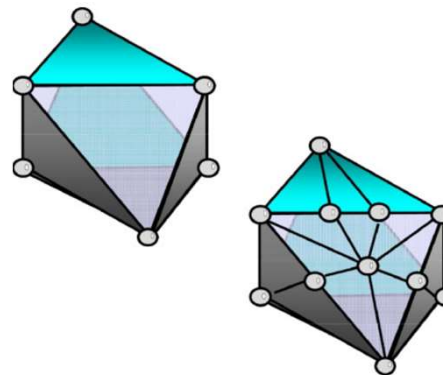


Elliptic linear congruence

5 DDL = tous les torseurs ont des axes centraux appartenant à un complexe



Special linear complex

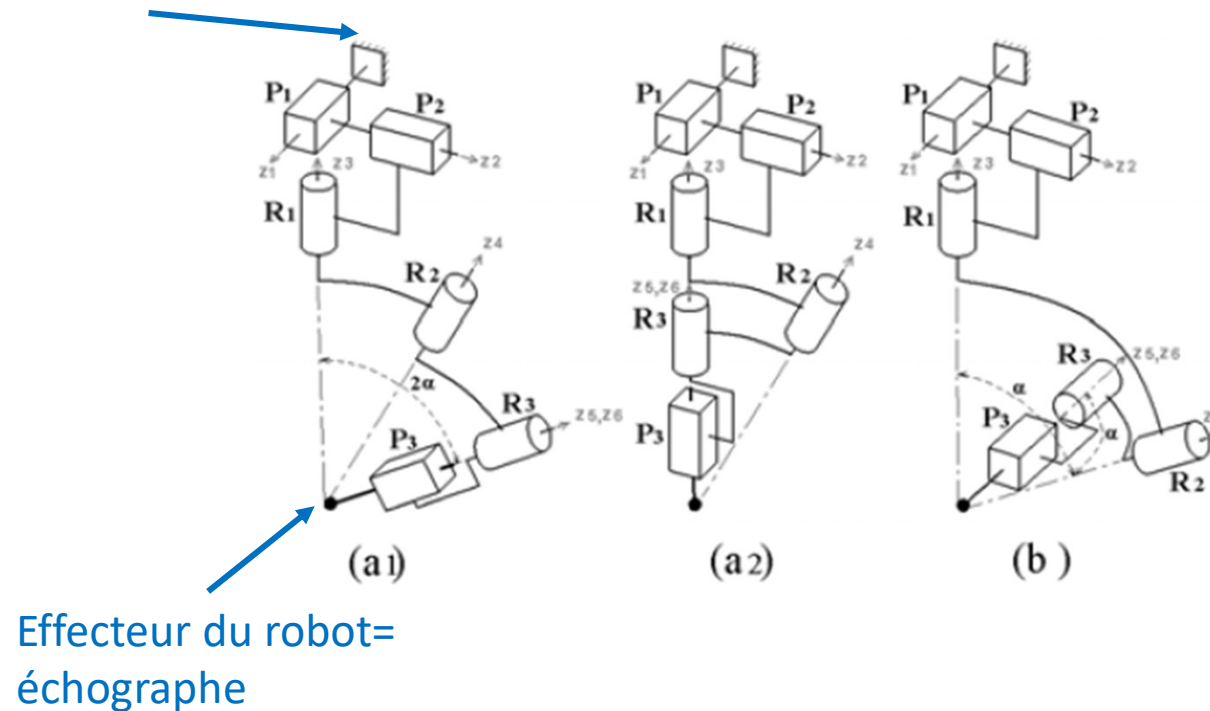


General complex

Singularités et géométrie projective

Singularités d'un Robot de télé-échographie à 6DDL = PPRRRP

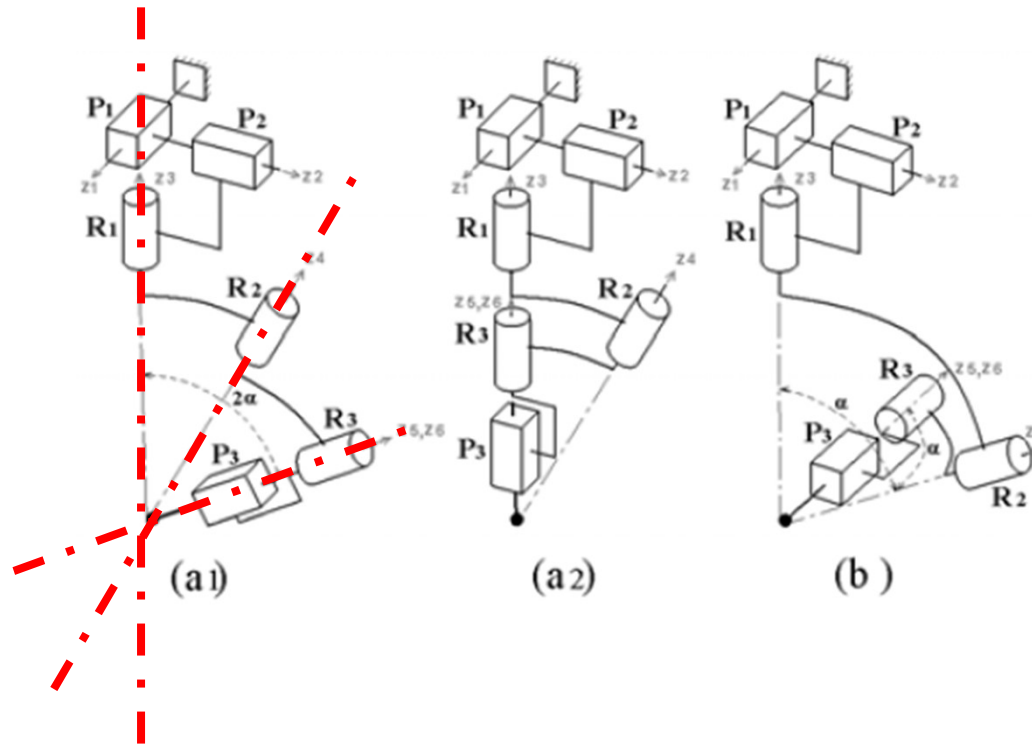
Base du robot



Effecteur du robot=
échographe

Singularités et géométrie projective

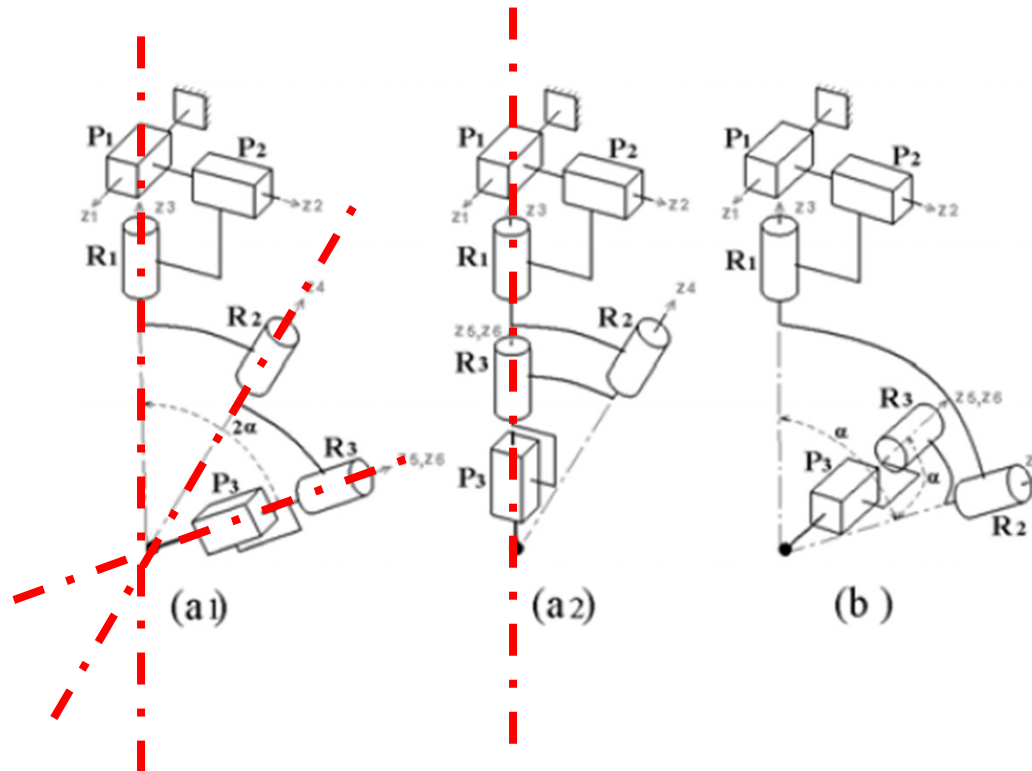
Singularités d'un Robot de télé-échographie à 6DDL = PPRRRP



3 liaisons pivots d'axes
coplanaires et
concourants

Singularités et géométrie projective

Singularités d'un Robot de télé-échographie à 6DDL = PPRRRP

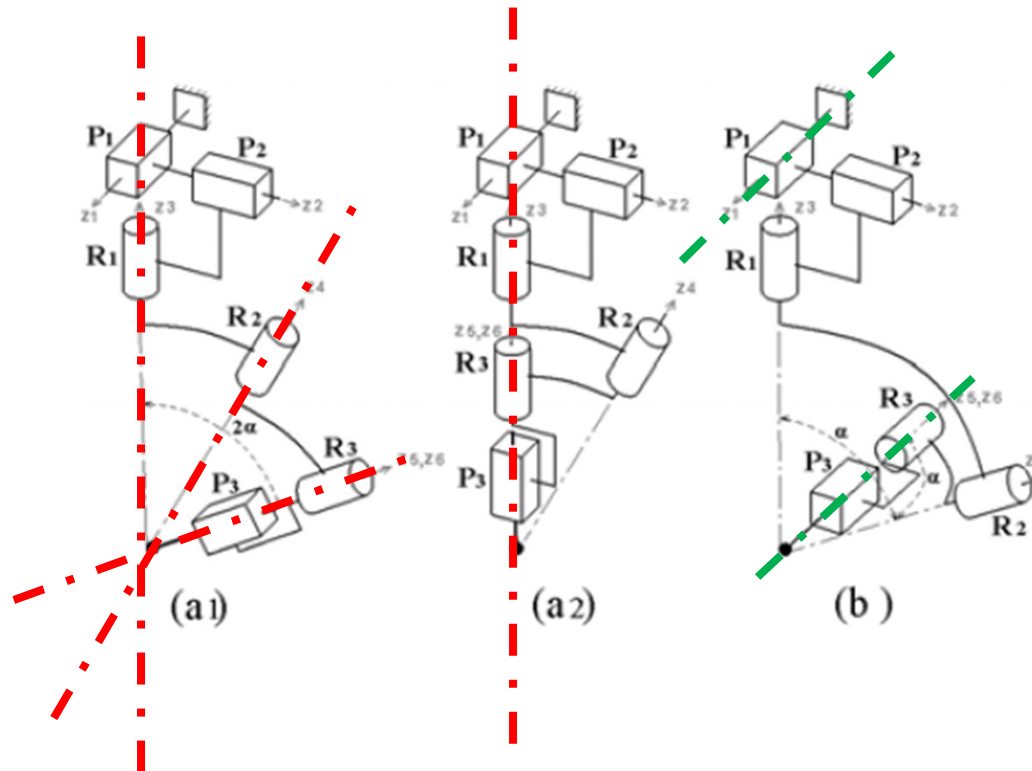


3 liaisons pivots d'axes
coplanaires et
concourants

2 liaisons pivots d'axes
confondus

Singularités et géométrie projective

Singularités d'un Robot de télé-échographie à 6DDL = PPRRRP



3 liaisons pivots d'axes
coplanaires et
concourants

2 liaisons pivots d'axes
confondus

2 liaisons glissières
d'axes parallèles

Inversion de la Matrice Jacobienne

« Passer » la configuration singulière \Rightarrow « localiser » la configuration singulière

Singular Value Decomposition (SVD) : $\underset{m \times n}{J} = \underset{m \times m}{U} \sum_{m \times n} \underbrace{V^T}_{n \times n}$

U et V sont des matrices orthogonales ($\det=1$)

Σ est une matrice diagonale contenant les valeurs singulières σ_i ; $i=1 \dots r=\min(m,n)$,

Avec $r=\text{rang}(J)$

Fonction `svd(J)` dans matlab

Si $m=n$ alors σ_i sont les valeurs propres de la matrice

Les valeurs propres nulles \Rightarrow colonnes de V correspondantes sont les vecteurs unitaires constituant la base du noyau de J : $N(J)=\{\dot{q}; J\dot{q}=0\}$

La SVD permet d'inverser une matrice: $J^{-1} = V\Sigma^+U^T$

Où Σ^+ est une matrice diagonale contenant les r valeurs $\frac{1}{\sigma_i}$

\Rightarrow plus on se rapproche d'une singularité plus σ_i devient petit

Si $\sigma_i = 0$ alors $\det(J)=0$

Si $\frac{1}{\sigma_i} = 0$ alors $\det(J^{-1})=0$

Manipulabilité

La manipulabilité est la capacité du robot à réaliser les vitesses dans l'espace opérationnel

$m = \frac{\sigma_{min}}{\sigma_{max}}$ permet de quantifier la manipulabilité du robot:

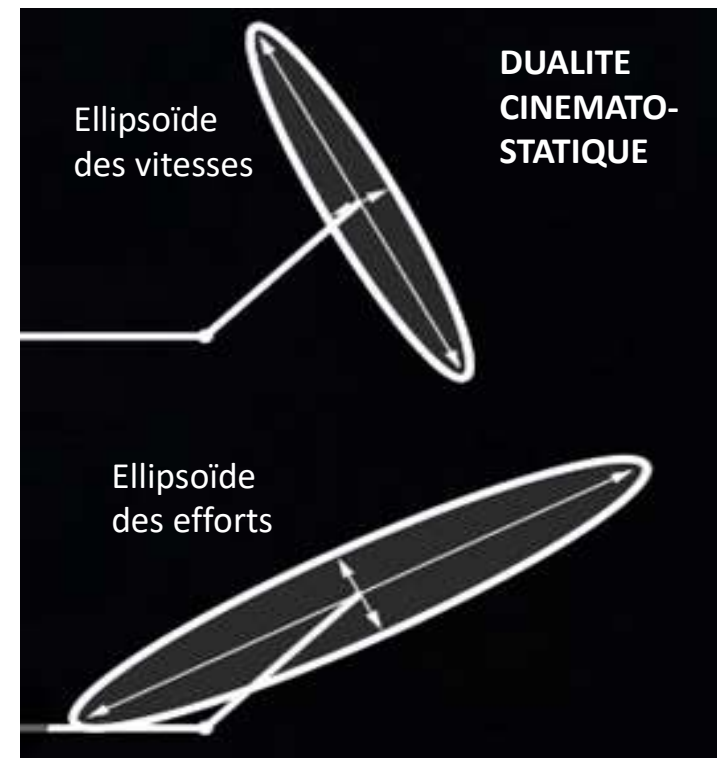
- Si $m=1$ alors la manipulabilité est optimale, la transmission des vitesses isotrope
- Si $m=0$ alors le robot est en configuration singulière, il existe une ou plusieurs directions selon lesquelles il n'y a plus de transmission de vitesse

la manipulabilité \Rightarrow ellipsoïde de manipulabilité:

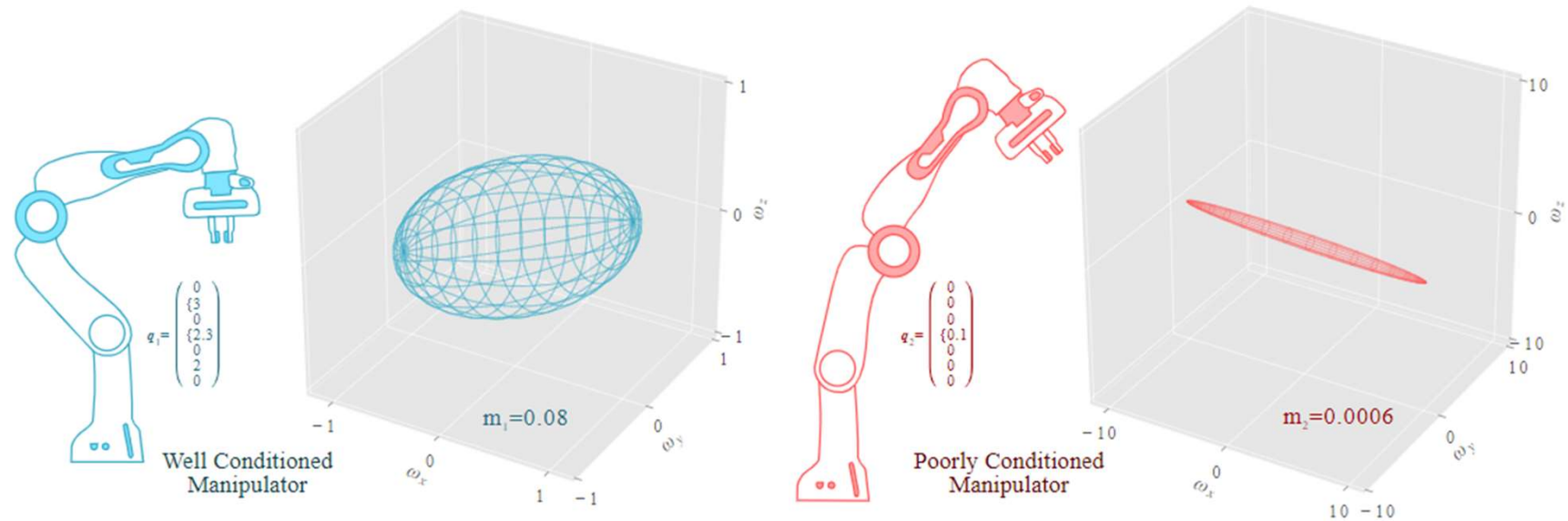
$$\dot{\mathbf{q}}^T \dot{\mathbf{q}} \leq 1 \Rightarrow \dot{\mathbf{x}}^T (\mathbf{U} \mathbf{\Sigma}^{-2} \mathbf{U}^T) \dot{\mathbf{x}} \leq 1$$

Les directions des axes principaux sont les colonnes de \mathbf{U} et les rayons des axes principaux sont les valeurs σ_i

Le volume de l'ellipsoïde est $\sqrt{\det(\mathbf{J}\mathbf{J}^T)} = \prod \sigma_i$



Manipulabilité: ellipsoïde de manipulabilité



méthode de damping
 On remplace $\frac{1}{\sigma_i}$ par $\frac{\sigma_i}{\sigma_i^2 + \lambda^2}$
 λ un facteur d'amortissement assez petit
 devant σ_i

Redondance

$$\underbrace{\dot{\mathbf{x}}}_{1 \times m} = \underbrace{\mathbf{J}}_{m \times n} \underbrace{\dot{\mathbf{q}}}_{n \times 1} \text{ et } m < n$$

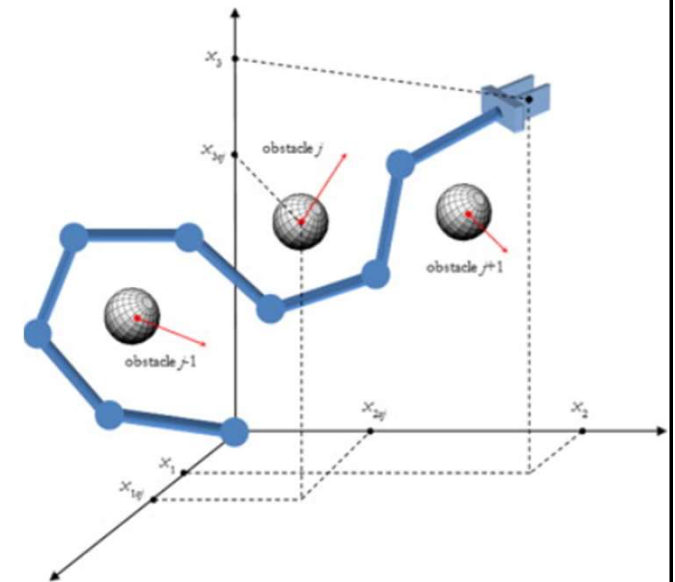
⇒ il y a une infinité de solutions pour réaliser la tâche.

Intérêt des robots redondants:

- éviter des obstacles dans l'espace opérationnel,
- s'éloigner des butées articulaires,
- optimiser la manipulabilité dans des directions données,
- Éviter les configurations singulières,
- Minimiser l'énergie consommée

Méthodes de commande permettant de trouver une solution :

- Optimisation d'une fonction objectif : contrôle optimal
- Méthodes basées sur le jacobienne : pseudo-inverse
- Méthode de l'espace nul: introduction d'un critère d'optimisation de la tâche



Redondance: pseudo-inverse

$$\underbrace{\dot{\mathbf{x}}}_{1 \times m} = \underbrace{\mathbf{J}}_{m \times n} \underbrace{\dot{\mathbf{q}}}_{n \times 1} \quad \text{et } m < n$$

⇒ il y a une infinité de solutions pour réaliser la tâche.

On choisit les tâches minimisant la norme euclidienne de $\dot{\mathbf{q}}$

On introduit un vecteur $\boldsymbol{\lambda}$ de m inconnues

Le problème consiste alors à minimiser:

$$\mathcal{L} = \frac{1}{2} \|\dot{\mathbf{q}}\|^2 + \boldsymbol{\lambda}^T (\mathbf{J}\dot{\mathbf{q}} - \dot{\mathbf{x}})$$

Les solutions de minimisation vérifient:

$$\begin{cases} \frac{\partial \mathcal{L}}{\partial \dot{\mathbf{q}}} = 0 \Rightarrow \dot{\mathbf{q}} + \mathbf{J}^T \boldsymbol{\lambda} = \mathbf{0} \\ \frac{\partial \mathcal{L}}{\partial \boldsymbol{\lambda}^T} = 0 \Rightarrow \mathbf{J}\dot{\mathbf{q}} - \dot{\mathbf{x}} = \mathbf{0} \end{cases}$$

$\frac{\partial(\mathbf{v}^T \mathbf{u})}{\partial \mathbf{v}} = \frac{\partial(\mathbf{u}^T \mathbf{v})}{\partial \mathbf{v}} = \mathbf{u}$

$$\begin{cases} \dot{\mathbf{q}} = -\mathbf{J}^T \boldsymbol{\lambda} \\ \dot{\mathbf{x}} = \mathbf{J}\dot{\mathbf{q}} = -\mathbf{J}\mathbf{J}^T \boldsymbol{\lambda} \end{cases} \quad \text{Si } \det(\mathbf{J}\mathbf{J}^T) \neq 0 \text{ alors } \boldsymbol{\lambda} = -(\mathbf{J}\mathbf{J}^T)^{-1} \dot{\mathbf{x}} \Rightarrow \dot{\mathbf{q}} = \mathbf{J}^T (\mathbf{J}\mathbf{J}^T)^{-1} \dot{\mathbf{x}}$$

$$\mathbf{J}^+ = \mathbf{J}^T (\mathbf{J}\mathbf{J}^T)^{-1} \quad \text{Pseudo-inverse ou Inverse Généralisé de Moore-Penrose (pinv avec Matlab)}$$

Redondance: pseudo-inverse

A une matrice $n \times m$, sa pseudo-inverse A^+ est l'unique matrice $m \times n$ vérifiant:

- $(A^+)^+ = A$
- $(A^T)^+ = (A^+)^T$
- $AA^+A = A$
- $A^+AA^+ = A^+$
- $(AA^+)^T = AA^+$
- $(A^+A)^T = A^+A$
- $(AB)^+ = B^+A^+$
- $(\alpha A)^+ = \frac{1}{\alpha}A^+$

$$P = AA^+ \text{ et } Q = A^+A \text{ sont des projecteurs orthogonaux} \Rightarrow \begin{cases} P^T = P \text{ et } Q^T = Q \\ P^2 = P \text{ et } Q^2 = Q \\ PA = A = AQ \\ A^+P = A^+ = QA^+ \end{cases}$$

P est le projecteur orthogonal sur l'image de A

Q est le projecteur orthogonal sur l'image de A^T

$I - P$ est le projecteur orthogonal sur le noyau de A

$I - Q$ est le projecteur orthogonal sur le noyau de A^T

Redondance : Méthode de l'espace nul

$$\underbrace{\dot{\mathbf{x}}}_{1 \times m} = \underbrace{\mathbf{J}}_{m \times n} \underbrace{\dot{\mathbf{q}}}_{n \times 1} \text{ et } m < n$$

⇒ il y a une infinité de solutions pour réaliser la tâche

$$\text{Espace Nul} = \{\dot{\mathbf{q}} / \mathbf{M}\dot{\mathbf{q}} = \mathbf{0}\} \Rightarrow \dot{\mathbf{q}} = \mathbf{J}^+ \mathbf{J} \dot{\mathbf{q}} + \mathbf{M} \dot{\mathbf{q}}$$

$$\Rightarrow \dot{\mathbf{q}} - \mathbf{J}^+ \mathbf{J} \dot{\mathbf{q}} = \mathbf{M} \dot{\mathbf{q}}$$

⇒ $\mathbf{M} = \mathbf{I} - \mathbf{J}^+ \mathbf{J}$ est la matrice de projection orthogonale sur $N(\mathbf{J})$

$$\dot{\mathbf{q}} = \underbrace{\mathbf{J}^+ \dot{\mathbf{x}}}_{\text{solution particulière}} + \underbrace{(\mathbf{I} - \mathbf{J}^+ \mathbf{J}) \dot{\mathbf{q}}_0}_{\text{solution homogène}} \quad \text{arbitraire}$$

Redondance : Méthode de l'espace nul

Soit $U(\mathbf{q})$ une fonction objectif telle que:

- Optimisation de la manipulabilité: $U(\mathbf{q}) = \sqrt{\det(\mathbf{J}\mathbf{J}^T)}$
- éloignement des butées articulaires : $U(\mathbf{q}) = \frac{1}{2N} \sum \left(\frac{q_i - \bar{q}}{q_{im} - q_{im}} \right)$
- évitement des obstacles : $U(\mathbf{q}) = \min \|\mathbf{x} - \text{obs}\|$
- Rapprochement d'une posture particulière: $U(\mathbf{q}) = \frac{1}{2} (\mathbf{q} - \mathbf{q}_p)^T (\mathbf{q} - \mathbf{q}_p)$

Méthode du gradient descendant (l'erreur diminue à chaque itération) : $\dot{\mathbf{q}}_0 = -\nabla U(\mathbf{q})$

Avec α un scalaire qui règle le taux de convergence.

$$\dot{\mathbf{q}} = \mathbf{J}^+ \dot{\mathbf{x}} - \alpha (\mathbf{I} - \mathbf{J}^+ \mathbf{J}) \nabla U(\mathbf{q})$$

Matrice Jacobienne

- Modèle Cinématique Direct: $\dot{x} = J(q)\dot{q}$
- Modèle Cinématique Inverse : si $J(q)$ est Carrée et Inversible alors $\dot{q} = J^{-1}(q)\dot{x}$
- La matrice Jacobienne n'est pas constante mais dépend de la configuration $J(q)$
- Le déterminant ne change pas avec le choix du point de l'effecteur,
- J permet la projection des forces entre les deux espaces articulaires et outil,
- J permet de connaître et de maîtriser les singularités du robot
- J est en général déterminée avec les torseurs et non par dérivation
- J Permet d'inverser numériquement le modèle géométrique direct
- J peut donner une information importante sur les vitesses nominales et maximales des moteurs à choisir.